

中部工業大学 正員 小西一郎
 京都大学工学部 正員 白石成人
 京都大学大学院 学生員 小島治久

1 まえがき

長大吊橋補剛桁としてト拉斯断面がしばしば用いられるが、その空気力学特性に関して、特にねじれ1自由度の自励振動であるストールフリッターフラッタについては、重要な問題であるにもかかわらず、不明な点が数多く残されている。本研究は、ト拉斯断面のストールフリッターフラッタ現象に付ける風洞実験結果を示し、あわせて準定常空気力理論による応答振幅の計算結果との比較検討を行なうものである。

2 風洞実験

風洞実験に用いた2次元模型の断面を図1に示す。模型はねじれ1自由度フリッタの発生を期待して、床版に地震・高欄に相当する高さ1.5cmの突起物を取り付けたものである。模型の長さは93cm、単位長さ当たりの質量慣性モーメントは0.0247kg.sec².m/mである。図2に静的ピッキングモーメント係数C_Mと迎え角αの関係を示す。図中の鎖線はC_M曲線の5次多項式近似を表している。図より知られるようにC_M曲線は迎え角が約-7°から1°の範囲において負勾配を有している。フリッターフラッタ実験において迎え角を-10°より10°まで2°毎に変化させたが、フリッターカー発生が確認されたのは-6°、-4°、-2°、0°の場合のみであり、この模型断面に関する限り、Negative Slope Theoryが成立するものと思われる。

3 応答振幅の数値計算

ねじれ1自由度振動に対して準定常理論を用いた応答計算は、宮田・岡内¹⁾が行っているが、ここでは応答と非定常空気力の間に位相遅れθを考え、以下のような仮定を設けて数値解析を行なった。

いま、 $\varphi = A \cos(\omega t + \psi)$ で示される振動状態に働く非定常モーメントMは $\tilde{\varphi} = A \cos(\omega t + \psi - \theta)$ で示される瞬間の状態に作用する静的モーメントに等しいと考える。ねじれ1自由度の振動方程式を

$$I(\ddot{\varphi} + 2\zeta\omega\dot{\varphi} + \omega^2\varphi) = \frac{1}{2}\rho(b^2)^2 U^2 C_M \quad (1)$$

とおき、C_M曲線を次のように5次多項式で近似する。

$$C_M = C_0 + C_1\alpha + C_2\alpha^2 + C_3\alpha^3 + C_4\alpha^4 + C_5\alpha^5 \quad (2)$$

また相対迎え角、および相対風速を

$$\alpha_{rel.} = \varphi - \varepsilon b/U \cdot \dot{\varphi}, \quad U_{rel.} = U \left\{ 1 + \frac{1}{2}\alpha_{rel.}^2 \right\} \quad (3)$$

とする。(1)の左辺および(2)、(3)に対して φ を $\tilde{\varphi}$ でおきれば

$$\ddot{\varphi} + \omega^2\varphi = \mu \left[-\frac{I\zeta\omega}{\rho b^2 C_0} \dot{\varphi} + (1 + \tilde{\alpha}_{rel.}^2) U^2 \times \left(1 + \frac{1}{C_0} \sum_{i=1}^5 C_i \tilde{\alpha}_{rel.}^i \right) \right] \quad (4)$$

ここに、 $\mu = 2\zeta b^2 C_0 / I (= 0.0059 \ll 1)$, $\tilde{\alpha}_{rel.} = \tilde{\varphi} - \varepsilon b/U \cdot \dot{\varphi}$ である。

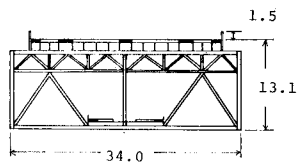
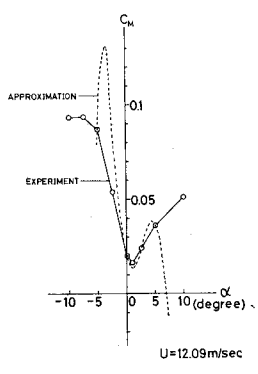


図 1



$$C_M = 0.02 - 0.7678\alpha + 24.9\alpha^2 - 28.3\alpha^3 - 2553.9\alpha^4 + 11896.6\alpha^5$$

図 2

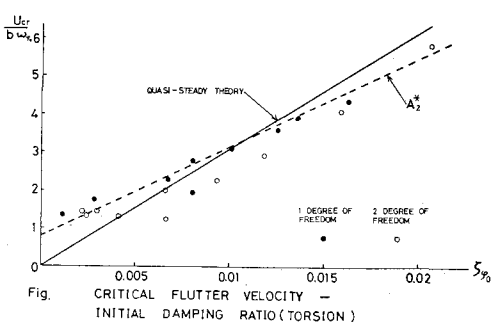


図 3

ここで、 $\ddot{\varphi}_{rel}$ を $\dot{\varphi}$ で表わせば、 $\dot{A}(t), \dot{\varphi}(t) \approx 0$ とおくことにより

$$\ddot{\varphi}_{rel} = \cos\theta \cdot \dot{\varphi} - (\sin\theta/\omega + \varepsilon b/U \cdot \cos\theta) \ddot{\varphi} + \varepsilon b/U\omega \cdot \sin\theta \ddot{\varphi} \quad (5)$$

(5)により(4)は $\ddot{\varphi} + \omega^2 \varphi = \mu f(\varphi, \dot{\varphi}, \ddot{\varphi})$, f は非線形関数となる。

これを Krylov-Bogoliubov の方法によって解けば、

$$\frac{dA}{dt} = -\frac{\mu}{2\omega} \frac{U^2}{C_0} \left[\left\{ \frac{35}{64} C_5 Y^4 A^7 + \frac{5}{8} (C_3 + C_5) Y^2 A^5 + \frac{3}{4} (C_1 + C_3) Y A^3 + C_1 A \right\} (\sin\theta + k \cos\theta) + \frac{15}{8} \frac{\omega^2}{b^2 U^2} A \right] \quad (6)$$

ここに、 $Y = 1 + k^2$, $k = b\omega/U$ である。(6)において、相対迎え角を代表する点の位置を表すパラメータ ζ を 1 とおいている。これは図3に示されるように初期減衰比と限界風速の間には線形関係が成立するものと考えられ、準定常理論による直線近似において、 $\zeta = 1$ とおいた場合に実験値と比較的よく一致することによっている。(6)の右辺を 0 とおくことにより定常振動 $A-V$ 曲線を正の実根として得ることができる。これらの結果を図4~6に示す。図中太い実線は風洞実験結果を示し、細線は計算結果を示す。また限界風速を、非常に微小な定常振幅が存在する風速と考えれば、

$$\left. \frac{dA}{dt} \left(\frac{dA}{dt} \right) \right|_{A=0} = -\frac{\mu}{2\omega} \frac{U^2}{C_0} \left[C_1 (\sin\theta + \frac{b\omega}{U} \cos\theta) + \frac{15}{8} \frac{\omega^2}{b^2 U^2} \right] = 0 \quad (7)$$

より $\sin\theta \left(\frac{U_{cr}}{b\omega} \right)^2 + \cos\theta \left(\frac{U_{cr}}{b\omega} \right) + \frac{15}{8} \frac{\omega^2}{b^2 C_1} = 0$ の正実根として求められる。 $\theta < 0$ の場合には θ の値により限界風速が求まらない場合があり、この時 $A-V$ 曲線は閉曲線を描くようになる。

4 結果の考察

図4~6より知らるるようすに、実験値と比較して、応答曲線は初期減衰比 ζ が大きの場合によく一致している。これは図3においても示されており、準定常理論が比較的高風速領域で適用できることを裏づけるものと考えられる。しかし、 C_0 曲線近似が振幅の大きな範囲では大きくはずれていることより、大振幅における計算値は、信頼性の非常に低いものとなつている。また、計算値は倍振幅 0.15 rad 以上で勾配が小さくなり、風速の増大に伴つて一定値に漸近するようと思われる。これは $U \rightarrow \infty$ のとき、 $A = \text{const.}$ となることを表わしている。次に中村²⁾のいうように非定常空力ダンピング($-M\ddot{\varphi}$)が、準定常流的ダンピング($\bar{M}\ddot{\varphi}$)および定常モーメント勾配(\bar{M}_M)を用ひて、

$$M\ddot{\varphi} = \bar{M}\ddot{\varphi} - \frac{1}{\omega} \sin\theta \bar{M}_M \quad (\ddot{\varphi} \text{ は流れの遅れによる成分})$$

と表わせるものとすれば、今回の実験では $\bar{M}_M < 0$ であることより、空力モーメントが応答より遅れ($\theta > 0$)でいる場合には、空力モーメントは大きくなり、低風速領域で応答することになる。逆に $\theta < 0$ の場合には高風速領域で応答することになる。計算結果は上述の考察と合致しているといえる。

最後に、本研究を進めるにあたり多大の御助力を賜わった松本 勝講師、ならびに構梁工学研究室の方々に深く感謝致します。

(参考文献)

1) 宮田利雄・岡内功“吊橋の風による自動振動に関する一考察” 土木学会論文報告集 第172号 1970年1月

2) 中村泰治・溝田武人“矩形断面の振りフラッタについて” 構造物の耐風性に関する討論会シンポジウム 論文集 1972.

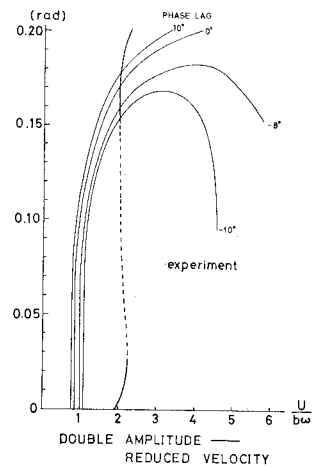


図 4 $\zeta = 0.002864$

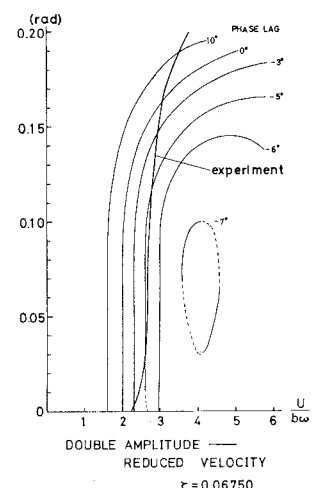


図 5 $\zeta = 0.06750$

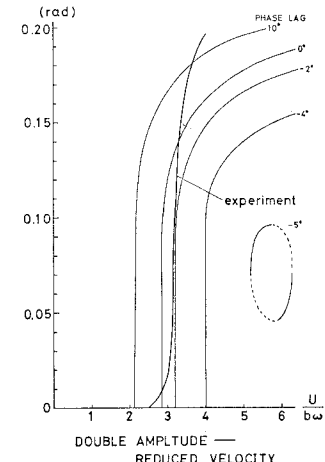


図 6 $\zeta = 0.01011$